



Abbott

Septiembre 2022

MED-LIBRARY

- CARDIOLOGÍA
- DERMATOLÓGIA
- ENFERMEDADES RESPIRATORIAS
- GASTROENTEROLOGÍA
- NEUROLOGÍA
- GINECOLOGÍA OBSTETRICIA
- ENDOCRINOLOGÍA Y METABOLISMO
- INMUNOLOGÍA
- ONCOLOGÍA



Contacto bibliotecóloga: Waleska.alemparte@abbott.com

The background of the entire page is a photograph of a desert landscape with deep, layered red rock formations. A person wearing a helmet and dark clothing is riding a red mountain bike across one of the ridges. The lighting is warm, suggesting either sunrise or sunset.

MED-LIBRARY

Abbott, en su constante preocupación por aportar en Educación Médica Continua, reúne esta selección de resúmenes de publicaciones recientes en distintas especialidades médicas.

ÍNDICE

CARDIOLOGÍA

DERMATOLOGÍA

ENFERMEDADES RESPIRATORIAS

GASTROENTEROLOGÍA

NEUROLOGÍA

GINECOLOGÍA Y OBSTETRICIA

ENDOCRINOLOGÍA

INMUNOLOGÍA

ONCOLOGÍA

Presione para navegar ►



Clin Investig Arterioscler. 2022 May-Jun;34(3):130-179.

HAGA CLICK AQUÍ
PARA DESCARGAR

SEA 2022 Standards for Global Control of Cardiovascular Risk

Jose María Mostaza, Xavier Pintó, Pedro Armario, Luis Masana , José T Real , Pedro Valdivielso , Teresa Arrobas-Velilla , Ramón Baeza-Trinidad , Pilar Calmarza, Jesús Cebollada , M Civera-Andrés , et al



Abstract One of the objectives of the Spanish Society of Arteriosclerosis is to contribute to better knowledge of vascular disease, its prevention and treatment. It is well known that cardiovascular diseases are the leading cause of death in our country and entail a high degree of disability and health care costs. Arteriosclerosis is a multifactorial disease and therefore its prevention requires a global approach that takes into account the different risk factors with which it is associated. Therefore, this document summarizes the current level of knowledge and includes recommendations and procedures to be followed in patients with established cardiovascular disease or at high vascular risk. Specifically, this document reviews the main symptoms and signs to be evaluated during the clinical visit, the laboratory and imaging procedures to be routinely requested or requested for those in special situations. It also includes vascular risk estimation, the diagnostic criteria of the different entities that are cardiovascular risk factors, and makes general and specific recommendations for the treatment of the different cardiovascular risk factors and their final objectives. Finally, the document includes aspects that are not usually referenced in the literature, such as the organization of a vascular risk consultation.

Resumen La Sociedad Española de Arteriosclerosis tiene entre sus objetivos contribuir al mayor y mejor conocimiento de la enfermedad vascular, su prevención y su tratamiento. Es de sobra conocido que las enfermedades cardiovasculares son la primera causa de muerte en nuestro país y conllevan además un elevado grado de discapacidad y gasto sanitario. La arteriosclerosis es una enfermedad de causa multifactorial y es por ello que su prevención exige un abordaje global que contemple los distintos factores de riesgo con los que se asocia. Así, este documento resume el nivel actual de conocimientos e incluye recomendaciones y procedimientos a seguir ante el paciente que presenta enfermedad cardiovascular establecida o se encuentra con elevado riesgo vascular. En concreto, este documento revisa los principales síntomas y signos a evaluar durante la visita clínica, los procedimientos de laboratorio y de imagen a solicitar de forma rutinaria o aquellos en situaciones especiales. Igualmente, incluye la estimación del riesgo vascular, los criterios diagnósticos de las distintas entidades que son factores de riesgo cardiovascular, plantea recomendaciones generales y específicas para el tratamiento de los distintos factores de riesgo cardiovascular y sus objetivos finales. Por último, el documento recoge aspectos habitualmente poco referenciados en la literatura como son la organización de una consulta de riesgo vascular.



Clin Investig Arterioscler . 2021 May;33 Suppl 2:7-13. doi: 10.1016/j.arteri.2020.12.015.

HAGA CLICK AQUÍ
PARA DESCARGAR



Epidemiology of hypertriglyceridaemia

Carlos Brotons, Irene Moral , Jara González , Diana Fernández, Mireia Puig , M Teresa Vilella

Abstract Based on the most recent scientific evidence, in this chapter we describe the relation of levels of triglycerides and risk of cardiovascular diseases. Particularly, we describe the prevalence of hypertriglyceridemia based on studies published at national and international reports; the relation between hypertriglyceridemia and cardiovascular diseases according to results of cohort studies; and finally, we describe the most recent evidence from clinical trials, meta-analysis and systematic reviews that have shown data on the efficacy of lowering triglyceride levels and reducing cardiovascular diseases.

Resumen A partir de la bibliografía disponible actualmente, en este capítulo se evalúa la evidencia científica sobre el papel que tienen los triglicéridos en el riesgo cardiovascular. En concreto, se analiza la prevalencia de la hipertrigliceridemia a partir de datos extraídos de estudios nacionales e internacionales; la evidencia científica de la relación entre la hipertrigliceridemia y la enfermedad cardiovascular a partir de los estudios analíticos de cohortes, y finalmente, la evidencia disponible sobre ensayos clínicos, metaanálisis y revisiones sistemáticas, que directa o indirectamente han evaluado una intervención para reducir los valores de triglicéridos y su relación con los accidentes cardiovasculares.



J Eur Acad Dermatol Venereol 2022 Jun;36(6):807-819.

Classifying atopic dermatitis: a systematic review of phenotypes and associated characteristics

A L Bosma , A Ascott , R Iskandar , K Farquhar , J Matthewman , M W Langendam , A Mulick , K Abuabara , H C Williams , P I Spuls , S M Langan , M A Middelkamp-Hup

HAGA CLICK AQUÍ
PARA DESCARGAR



Abstract Atopic dermatitis is a heterogeneous disease, accompanied by a wide variation in disease presentation and the potential to identify many phenotypes that may be relevant for prognosis and treatment. We aimed to systematically review previously reported phenotypes of atopic dermatitis and any characteristics associated with them. Ovid EMBASE, Ovid MEDLINE and Web of Science were searched from inception till 12 February 2021 for studies attempting to classify atopic dermatitis. Primary outcomes are atopic dermatitis phenotypes and characteristics associated with them in subsequent analyses. A secondary outcome is the methodological approach used to derive them. In total, 8511 records were found. By focussing only on certain clinical phenotypes, 186 studies were eligible for inclusion. The majority of studies were hospital-based (59%, 109/186) and cross-sectional (76%, 141/186). The number of included patients ranged from seven to 526 808. Data-driven approaches to identify phenotypes were only used in a minority of studies (7%, 13/186). Ninety-one studies (49%) investigated a phenotype based on disease severity. A phenotype based on disease trajectory, morphology and eczema herpeticum was investigated in 56 (30%), 22 (12%) and 11 (6%) studies respectively. Thirty-six studies (19%) investigated morphological characteristics in other phenotypes. Investigated associated characteristics differed between studies. In conclusion, we present an overview of phenotype definitions used in literature for severity, trajectory, morphology and eczema herpeticum, including associated characteristics. There is a lack of uniform and consistent use of atopic dermatitis phenotypes across studies.

Clasificación de la dermatitis atópica: una revisión sistemática de los fenotipos y las características asociadas

Resumen La dermatitis atópica es una enfermedad heterogénea, acompañada de una amplia variación en la presentación de la enfermedad y el potencial para identificar muchos fenotipos que pueden ser relevantes para el pronóstico y el tratamiento. Nuestro objetivo fue revisar sistemáticamente los fenotipos de dermatitis atópica informados previamente y cualquier característica asociada con ellos. Se realizaron búsquedas en Ovid EMBASE, Ovid MEDLINE y Web of Science desde el inicio hasta el 12 de febrero de 2021 en busca de estudios que intentaran clasificar la dermatitis atópica. Los resultados primarios son los fenotipos de dermatitis atópica y las características asociadas con ellos en análisis posteriores. Un resultado secundario es el enfoque metodológico utilizado para derivarlos. En total, se encontraron 8511 registros. Al centrarse solo en ciertos fenotipos clínicos, 186 estudios fueron elegibles para su inclusión. La mayoría de los estudios se realizaron en hospitales (59%, 109/186) y transversales (76 %, 141/186). El número de pacientes incluidos varió de siete a 526 808. Los enfoques basados en datos para identificar fenotipos solo se utilizaron en una minoría de estudios (7 %, 13/186). Noventa y un estudios (49%) investigaron un fenotipo basado en la gravedad de la enfermedad. Se investigó un fenotipo basado en la trayectoria de la enfermedad, la morfología y el ecema herpético en 56 (30 %), 22 (12 %) y 11 (6 %) estudios, respectivamente. Treinta y seis estudios (19%) investigaron características morfológicas en otros fenotipos. Las características asociadas investigadas difirieron entre los estudios. En conclusión, presentamos una descripción general de las definiciones de fenotipo utilizadas en la literatura para la gravedad, la trayectoria, la morfología y el ecema herpético, incluidas las características asociadas. Hay una falta de uso uniforme y consistente de los fenotipos de dermatitis atópica en todos los estudios.



Clin Respir J. 2022 Feb;16(2):84-96.

HAGA CLICK AQUÍ
PARA DESCARGAR

Idiopathic pulmonary fibrosis: Current and future treatment

Daniel S Glass , David Grossfeld , Heather A Renna , Priya Agarwala , Peter Spiegler , Joshua DeLeon, Allison B Reiss



Abstract Objectives: Idiopathic pulmonary fibrosis (IPF) is a chronic fibrotic lung disease characterized by dry cough, fatigue, and progressive exertional dyspnea. Lung parenchyma and architecture is destroyed, compliance is lost, and gas exchange is compromised in this debilitating condition that leads inexorably to respiratory failure and death within 3-5 years of diagnosis. This review discusses treatment approaches to IPF in current use and those that appear promising for future development. Data source: The data were obtained from the Randomized Controlled Trials and scientific studies published in English literature. We used search terms related to IPF, antifibrotic treatment, lung transplant, and management. Results: Etiopathogenesis of IPF is not fully understood, and treatment options are limited. Pathological features of IPF include extracellular matrix remodeling, fibroblast activation and proliferation, immune dysregulation, cell senescence, and presence of aberrant basaloid cells. The mainstay therapies are the oral antifibrotic drugs pirfenidone and nintedanib, which can improve quality of life, attenuate symptoms, and slow disease progression. Unilateral or bilateral lung transplantation is the only treatment for IPF shown to increase life expectancy. Conclusion: Clearly, there is an unmet need for accelerated research into IPF mechanisms so that progress can be made in therapeutics toward the goals of increasing life expectancy, alleviating symptoms, and improving well-being.

Fibrosis pulmonar idiopática: tratamiento actual y futuro

Resumen Objetivos: La fibrosis pulmonar idiopática (FPI) es una enfermedad pulmonar fibrótica crónica caracterizada por tos seca, fatiga y disnea de esfuerzo progresiva. El parénquima y la arquitectura pulmonar se destruyen, se pierde la distensibilidad y el intercambio de gases se ve comprometido en esta condición debilitante que conduce inexorablemente a insuficiencia respiratoria y muerte dentro de los 3 a 5 años posteriores al diagnóstico. Esta revisión analiza los enfoques de tratamiento para la FPI en uso actual y aquellos que parecen prometedores para el desarrollo futuro. Fuente de datos: Los datos se obtuvieron de los ensayos controlados aleatorios y estudios científicos publicados en la literatura inglesa. Utilizamos términos de búsqueda relacionados con FPI, tratamiento antifibrótico, trasplante de pulmón y manejo. Resultados: La etiopatogenia de la FPI no se comprende por completo y las opciones de tratamiento son limitadas. Las características patológicas de la FPI incluyen la remodelación de la matriz extracelular, la activación y proliferación de fibroblastos, la desregulación inmunitaria, la senescencia celular y la presencia de células basaloides aberrantes. Las terapias principales son los fármacos antifibróticos orales, pirfenidona y nintedanib, que pueden mejorar la calidad de vida, atenuar los síntomas y retrasar la progresión de la enfermedad. El trasplante de pulmón unilateral o bilateral es el único tratamiento para la FPI que ha demostrado aumentar la esperanza de vida. Conclusión: Claramente, existe una necesidad insatisfecha de investigación acelerada sobre los mecanismos de la FPI para que se pueda avanzar en la terapéutica hacia los objetivos de aumentar la esperanza de vida, aliviar los síntomas y mejorar el bienestar.

Int Forum Allergy Rhinol . 2022 May 11. doi: 10.1002/alr.23011. Online ahead of print.

HAGA CLICK AQUÍ
PARA DESCARGAR



Local nasal immunotherapy for allergic rhinitis: A systematic review and meta-analysis

Navarat Kasemsuk , Premyot Ngaoteppruttaram , Dichapong Kanjanawasee , Triphoom Suwanwech , Stephen R Durham , Giorgio Walter Canonica , Pongsakorn Tantilipikorn

Abstract Introduction: Local nasal immunotherapy (LNIT), an alternative noninjection immunotherapy method, is theoretically an efficient method for inducing immunotolerance directly in the affected organ. LNIT is more convenient and less invasive than injection immunotherapy, with fewer systemic reactions. The development of adjuvants to overcome LNIT's limitations raises the possibility of it being an alternative allergen immunotherapy. Objectives: To evaluate the clinical and immunological efficacy and safety of LNIT for patients with allergic rhinitis. Methods: A systematic search for randomized controlled trials comparing LNIT and placebo was performed using OVID Medline and Embase. Outcomes were total nasal symptom score (TNSS), symptom-medication score (SMS), medication score, immunological assessment, and nasal provocation threshold. Data were pooled for meta-analysis. Results: A total of 20 studies with 698 participants were included. The LNIT group had greater posttreatment improvement in TNSS, SMS, and medication score than control (TNSS: standardized mean difference [SMD], -1.37 [95% confidence interval [CI], -2.04 to -0.69]; SMS: SMD, -1.55 [95% CI, -2.83 to -0.28]; and medication score: SMD, -1.09 [95% CI, -1.35 to -0.83]). Immunological assessments showed no significant differences in serum-specific IgE (mean difference [MD], 6.35; 95% CI, -4.62 to 17.31), nasal IgE (MD, -0.59; 95% CI, -1.99 to 0.81), or nasal eosinophil cationic protein (MD, 7.63; 95% CI, -18.65 to 33.91). Only serum IgG significantly increased with LNIT (MD, 0.45; 95% CI, 0.20, 0.70). Posttreatment, nasal provocation threshold was higher with LNIT (MD, 27.30; 95% CI, 10.13-44.46). No significant adverse events were reported. Conclusions: LNIT is a safe alternative allergen immunotherapy route without significant adverse events. It improves clinical symptoms, reduces medication usage, and increases the nasal provocation threshold.

**Inmunoterapia nasal local para la rinitis alérgica:
revisión sistemática y metanálisis**

Resumen Introducción: La inmunoterapia nasal local (ITNL), un método alternativo de inmunoterapia sin inyección, es teóricamente un método eficiente para inducir immunotolerancia directamente en el órgano afectado. La ITNL es más conveniente y menos invasiva que la inmunoterapia por inyección, con menos reacciones sistémicas. El desarrollo de adyuvantes para superar las limitaciones de ITNL plantea la posibilidad de que sea una inmunoterapia alergénica alternativa. **Objetivos:** Evaluar la eficacia clínica e immunológica y la seguridad de la ITNL en pacientes con rinitis alérgica. **Métodos:** Se realizó una búsqueda sistemática de ensayos controlados aleatorios que compararan ITNL y placebo utilizando OVID Medline y Embase. Los resultados fueron la puntuación total de los síntomas nasales (TNSS), la puntuación de los síntomas y la medicación (SMS), la puntuación de la medicación, la evaluación inmunológica y el umbral de provocación nasal. Los datos se agruparon para el metanálisis. **Resultados:** Se incluyeron un total de 20 estudios con 698 participantes. El grupo ITNL tuvo una mejoría posterior al tratamiento en TNSS, SMS y puntaje de medicación que el control (TNSS: diferencia de medias estandarizada [SMD], -1.37 [intervalo de confianza [CI] del 95 %, -2.04 a -0.69]; SMS: SMD, -1.55 [CI del 95 %, -2.83 a -0.28] y puntuación de la medicación: SMD, -1.09 [95 % CI, -1.35 a -0.83]). Las evaluaciones inmunológicas no mostraron diferencias significativas en IgE sérica específica (diferencia media [MD], 6.35; 95 % CI, -4.62 a 17.31), IgE nasal (MD, -0.59; 95 % CI, -1.99 a 0.81) o IgE nasal proteína catiónica de eosinófilos (MD, 7.63; 95 % IC, -18,65 a 33.91). Solo la IgG sérica aumentó significativamente con ITNL (MD, 0.45; 95 % CI, 0.20, 0.70). Después del tratamiento, el umbral de provocación nasal fue mayor con ITNL (MD, 27.30; 95 % CI, 10.13-44.46). No se informaron eventos adversos significativos. **Conclusiones:** ITNL es una ruta alternativa segura de inmunoterapia con alérgenos sin eventos adversos significativos. Mejora los síntomas clínicos, reduce el uso de medicamentos y aumenta el umbral de provocación nasal.



Nutrients. 2022 Jun 15;14(12):2482.

Effectiveness and Safety of Probiotics for Patients with Constipation-Predominant Irritable Bowel Syndrome: A Systematic Review and Meta-Analysis of 10 Randomized Controlled Trials

Xue Shang, Fen-Fen E, Kang-Le Guo, Yan-Fei Li, Hong-Lin Zhao, Yan Wang, Nan Chen, Tao Nian, Chao-Qun Yang, Ke-Hu Yang, Xiu-Xia Li

Abstract To perform a systematic review and meta-analysis to evaluate the effectiveness and safety of probiotics in the treatment of constipation-predominant irritable bowel syndrome (IBS-C), we searched for randomized controlled trials (RCTs) comparing probiotic care versus placebos for patients with IBS-C in five comprehensive databases (March 2022). The risk of bias was assessed using the Cochrane Collaboration Risk of Bias Tool. RevMan 5.3 was used to perform a meta-analysis on stool consistency, abdominal pain, bloating, quality of life (QoL), fecal Bifidobacterium and Lactobacillus counts, and adverse events. The GRADE approach was used to evaluate the certainty of the evidence. Ten RCTs involving 757 patients were included. Only three studies were rated as having a low risk of bias. The meta-analysis results show that, compared to the placebo, probiotics significantly improved stool consistency ($MD = 0.72$, 95% CI (0.18, 1.26), $p < 0.05$, low quality) and increased the number of fecal Bifidobacteria ($MD = 1.75$, 95% CI (1.51, 2.00), $p < 0.05$, low quality) and Lactobacillus ($MD = 1.69$, 95% CI (1.48, 1.89), $p < 0.05$, low quality), while no significant differences were found in abdominal pain scores, bloating scores, QoL scores, or the incidence of adverse events ($p \geq 0.05$). The low-to-very low certainty evidence suggests that probiotics might improve the stool consistency of patients with IBS-C and increase the number of Bifidobacteria and Lactobacilli in feces with good safety. However, more high-quality studies with large samples are needed to verify the findings.

Eficacia y seguridad de los probióticos para pacientes con síndrome de intestino irritable con predominio de estreñimiento: revisión sistemática y metanálisis de 10 ensayos controlados aleatorios

Resumen Para realizar una revisión sistemática y un metanálisis para evaluar la efectividad y la seguridad de los probióticos en el tratamiento del síndrome del intestino irritable con predominio del estreñimiento (IBS-C), buscamos ensayos controlados aleatorios (RCTs) que compararan la atención con probióticos versus placebos para pacientes con IBS-C en cinco bases de datos integrales (marzo de 2022). El riesgo de sesgo se evaluó mediante la herramienta de riesgo de sesgo de la Colaboración Cochrane. RevMan 5.3 se utilizó para realizar un metanálisis sobre la consistencia de las heces, el dolor abdominal, la distensión abdominal, la calidad de vida (QoL), los recuentos fecales de Bifidobacterium y Lactobacillus y los eventos adversos. Se utilizó el enfoque GRADE para evaluar la certeza de la evidencia. Se incluyeron diez RCTs con 757 pacientes. Solo tres estudios se calificaron como de bajo riesgo de sesgo. Los resultados del metanálisis muestran que, en comparación con el placebo, los probióticos mejoraron significativamente la consistencia de las heces ($MD = 0.72$, 95 % CI (0.18; 1.26), $p < 0.05$, baja calidad) y aumentaron el número de bifidobacterias fecales ($MD = 1.75$, 95% CI (1.51, 2.00), $p < 0.05$, calidad baja) y Lactobacillus ($MD = 1.69$, 95% CI (1.48, 1.89), $p < 0.05$, calidad baja), mientras que no se encontraron diferencias significativas en puntuaciones de dolor abdominal, puntuaciones de hinchazón, puntuaciones de QoL o la incidencia de eventos adversos ($p \geq 0.05$). La evidencia de certeza baja a muy baja sugiere que los probióticos podrían mejorar la consistencia de las heces de los pacientes con IBS-C y aumentar la cantidad de bifidobacterias y lactobacilos en las heces con buena seguridad. Sin embargo, se necesitan más estudios de alta calidad con muestras grandes para verificar los hallazgos.

HAGA CLICK AQUÍ
PARA DESCARGAR



Alzheimers Res Ther. 2022 Apr 4;14(1):48.

Sex differences in neuropsychiatric symptoms in Alzheimer's disease dementia: a meta-analysis

Willem S Eikelboom , Michel Pan , Rik Ossenkoppele , Michiel Coesmans Jennifer R Gatchel , Zahinoor Ismail , Krista L Lanctôt , Corinne E Fischer , Moyra E Mortby , Esther van den Berg , Janne M Papma

HAGA CLICK AQUÍ
PARA DESCARGAR



Abstract Background: Neuropsychiatric symptoms (NPS) are common in individuals with Alzheimer's disease (AD) dementia, but substantial heterogeneity exists in the manifestation of NPS. Sex differences may explain this clinical variability. We aimed to investigate the sex differences in the prevalence and severity of NPS in AD dementia. **Methods:** Literature searches were conducted in Embase, MEDLINE/PubMed, Web of Science Core Collection, Cochrane Central Register of Controlled Trials, PsycINFO, and Google Scholar from inception to February 2021. Study selection, data extraction, and quality assessment were conducted in duplicate. Effect sizes were calculated as odds ratios (OR) for NPS prevalence and Hedges' g for NPS severity. Data were pooled using random-effects models. Sources of heterogeneity were examined using meta-regression analyses. **Results:** Sixty-two studies were eligible representing 21,554 patients (61.2% females). The majority of the included studies had an overall rating of fair quality (71.0%), with ten studies of good quality (16.1%) and eight studies of poor quality (12.9%). There was no sex difference in the presence of any NPS ($k=4$, OR=1.35 [95% confidence interval 0.78, 2.35]) and overall NPS severity ($k=13$, $g=0.04$ [-0.04, 0.12]). Regarding specific symptoms, female sex was associated with more prevalent depressive symptoms ($k=20$, OR=1.60 [1.28, 1.98]), psychotic symptoms (general psychosis $k=4$, OR=1.62 [1.12, 2.33]; delusions $k=12$, OR=1.56 [1.28, 1.89]), and aberrant motor behavior ($k=6$, OR=1.47 [1.09, 1.98]). In addition, female sex was related to more severe depressive symptoms ($k=16$, $g=0.24$ [0.14, 0.34]), delusions ($k=10$, $g=0.19$ [0.04, 0.34]), and aberrant motor behavior ($k=9$, $g=0.17$ [0.08, 0.26]), while apathy was more severe among males compared to females ($k=11$, $g=-0.10$ [-0.18, -0.01]). There was no association between sex and the prevalence and severity of agitation, anxiety, disinhibition, eating behavior, euphoria, hallucinations, irritability, and sleep disturbances. Meta-regression analyses revealed no consistent association between the effect sizes across studies and method of NPS assessment and demographic and clinical characteristics. **Discussion:** Female sex was associated with a higher prevalence and greater severity of several specific NPS, while male sex was associated with more severe apathy. While more research is needed into factors underlying these sex differences, our findings may guide tailored treatment approaches of NPS in AD dementia.

Diferencias de sexo en los síntomas neuropsiquiátricos en la demencia por enfermedad de Alzheimer: un metanálisis

Resumen de Antecedentes: Los síntomas neuropsiquiátricos (SNP) son comunes en las personas con demencia por enfermedad de Alzheimer (EA), pero existe una heterogeneidad sustancial en la manifestación de los SNP. Las diferencias de sexo pueden explicar esta variabilidad clínica. Nuestro objetivo fue investigar las diferencias de sexo en la prevalencia y la gravedad de SNP en la demencia EA. **Métodos:** Se realizaron búsquedas bibliográficas en Embase, MEDLINE/PubMed, Web of Science Core Collection, Cochrane Central Register of Controlled Trials, PsycINFO y Google Scholar desde el inicio hasta febrero de 2021. La selección de estudios, la extracción de datos y la evaluación de la calidad se realizaron por duplicado. Los tamaños del efecto se calcularon como razones de probabilidad (OR) para la prevalencia de SNP y g de Hedges para la gravedad de SNP. Los datos se agruparon mediante modelos de efectos aleatorios. Las fuentes de heterogeneidad se examinaron mediante análisis de metarregresión. **Resultados:** Sesenta y dos estudios fueron elegibles que representan a 21.554 pacientes (61.2% mujeres). La mayoría de los estudios incluidos tuvieron una calificación general de calidad regular (71.0 %), con diez estudios de buena calidad (16.1 %) y ocho estudios de mala calidad (12.9 %). No hubo diferencia de sexo en la presencia de SNP ($k = 4$, OR = 1.35 [intervalo de confianza del 95 %: 0.78, 2.35]) y la gravedad general de SNP ($k = 13$, $g = 0.04$ [-0.04, 0.12]). En cuanto a los síntomas específicos, el sexo femenino se asoció con mayor prevalencia de síntomas depresivos ($k = 20$, OR = 1.60 [1.28, 1.98]), síntomas psicóticos (psicosis general $k = 4$, OR = 1.62 [1.12, 2.33]; delirios $k = 12$, OR = 1.56 [1.28, 1.89]), y comportamiento motor aberrante ($k = 6$, OR = 1.47 [1.09, 1.98]). Además, el sexo femenino se relacionó con síntomas depresivos más severos ($k = 16$, $g = 0.24$ [0.14, 0.34]), delirios ($k = 10$, $g = 0.19$ [0.04, 0.34]) y comportamiento motor aberrante ($k = 9$, $g = 0.17$ [0.08, 0.26]), mientras que la apatía fue más severa entre los hombres en comparación con las mujeres ($k = 11$, $g = -0.10$ [-0.18, -0.01]). No hubo asociación entre el sexo y la prevalencia y severidad de la agitación, ansiedad, disinhibición, conducta alimentaria, euforia, alucinaciones, irritabilidad y trastornos del sueño. Los análisis de metarregresión no revelaron una asociación consistente entre los tamaños del efecto entre los estudios y el método de evaluación de SNP y las características demográficas y clínicas. **Discusión:** El sexo femenino se asoció con una mayor prevalencia y mayor severidad de varios SNP específicos, mientras que el sexo masculino se asoció con una apatía más severa. Si bien se necesita más investigación sobre los factores subyacentes a estas diferencias sexuales, nuestros hallazgos pueden guiar los enfoques de tratamiento personalizados de SNP en la demencia por EA.

Am J Clin Nutr. 2022 Apr 22; nqac107. doi: 10.1093/ajcn/nqac107.

HAGA CLICK AQUÍ
PARA DESCARGAR



Vitamin D and brain health: an observational and Mendelian randomization study

Shreeya S Navale , Anwar Mulugeta , Ang Zhou , David J Llewellyn , Elina Hyppönen

Abstract Background: Higher vitamin D status has been suggested to have beneficial effects on the brain. Objective: To investigate the association between 25-hydroxyvitamin D [25(OH)D], neuroimaging features and the risk of dementia and stroke. Design: We used prospective data from the UK Biobank (37-73 years at baseline) to examine the association between 25(OH)D concentrations with neuroimaging outcomes (N=33,523) and the risk of dementia and stroke (N=427,690; 3,414 and 5,339 incident cases respectively). Observational analyses were adjusted for age, sex, ethnicity, month, center, socioeconomic, lifestyle, sun behavior and illness-related factors. Non-linear Mendelian randomization (MR) analyses were used to test for underlying causality for neuroimaging outcomes (N=23,901) and dementia and stroke (N=294,514; 2,399 and 3,760 cases, respectively). Results: Associations between 25(OH)D and total, grey matter, white matter and hippocampal volumes were non-linear, with lower volumes both for low and high concentrations (adjusted Pnon-linear ≤ 0.04). 25(OH)D had an inverse association with white matter hyperintensity volume (per 10nmol/L 25(OH)D, adjusted β: -6.1, 95%CI -11.5, -7.0). Vitamin D deficiency was associated with an increased risk of dementia and stroke, with the strongest associations for those with 25(OH)D <25nmol/L (vs. 50-75.9 nmol/L, adjusted HR: 1.79, 95%CI 1.57, 2.04, and HR: 1.40, 95%CI 1.26, 1.56, respectively). Non-linear MR analyses confirmed the threshold effect of 25(OH)D on dementia, with the risk predicted to be 54% (95%CI 1.21, 1.96) higher for participants at 25nmol/l compared to 50nmol/l. 25(OH)D was not associated with neuroimaging outcomes or the risk of stroke in MR analyses. Potential impact fraction suggests 17% (95%CI 7.22, 30.58) of dementia could be prevented by increasing 25(OH)D to 50nm/L Conclusions: Low vitamin D status was associated with neuroimaging outcomes and the risks of dementia and stroke even after extensive covariate adjustment. MR analyses support a causal effect of vitamin D deficiency on dementia but not on stroke risk.

Vitamina D y salud cerebral: un estudio observacional y de aleatorización mendeliana

Resumen de Antecedentes: Se ha sugerido que un nivel más alto de vitamina D tiene efectos beneficiosos sobre el cerebro. Objetivo: investigar la asociación entre la 25-hidroxivitamina D [25(OH)D], las características de neuroimagen y el riesgo de demencia y accidente cerebrovascular. Diseño: utilizamos datos prospectivos del Biobanco del Reino Unido (37-73 años al inicio) para examinar la asociación entre las concentraciones de 25(OH)D con los resultados de neuroimagen (N=33,523) y el riesgo de demencia y accidente cerebrovascular (N=427,690; 3,414 y 5,339 casos incidentes respectivamente). Los análisis observacionales se ajustaron por edad, sexo, etnia, mes, centro, socioeconómico, estilo de vida, comportamiento solar y factores relacionados con la enfermedad. Se utilizaron análisis de aleatorización (MR) mendeliana no lineal para evaluar la causalidad subyacente de los resultados de neuroimagen (N = 23,901) y la demencia y el accidente cerebrovascular (N = 294,514; 2,399 y 3,760 casos, respectivamente). Resultados: Las asociaciones entre 25(OH)D y los volúmenes totales de materia gris, de materia blanca y del hipocampo fueron no lineales, con volúmenes más bajos tanto para concentraciones bajas como altas (Pnon lineal ajustado ≤ 0.04). La 25(OH)D tuvo una asociación inversa con el volumen de hiperintensidad de la materia blanca (por 10 nmol/L de 25(OH)D, β ajustada: -6.1, 95 % CI: -11.5, -7.0). La deficiencia de vitamina D se asoció con un mayor riesgo de demencia y accidente cerebrovascular, con las asociaciones más fuertes para aquellos con 25(OH)D <25 nmol/L (frente a 50-75.9 nmol/L, HR ajustado: 1.79, 95 % CI: 1.57, 2.04 y HR: 1.40; 95 % CI: 1.26; 1.56, respectivamente). Los análisis de MR no lineales confirmaron el efecto umbral de la 25(OH)D sobre la demencia, y se predijo que el riesgo era un 54 % (95 % CI: 1.21 a 1.96) más alto para los participantes con 25 nmol/l en comparación con 50 nmol/l. La 25(OH)D no se asoció con los resultados de las neuroimágenes ni con el riesgo de accidente cerebrovascular en los análisis de MR. La fracción de impacto potencial sugiere que el 17 % (95 % CI: 7.22; 30.58) de la demencia podría prevenirse aumentando la 25(OH)D a 50 nm/L. Conclusiones: después de un amplio ajuste de covariables. Los análisis de MR respaldan un efecto causal de la deficiencia de vitamina D en la demencia, pero no en el riesgo de accidente cerebrovascular.



Alzheimers Dement 2022 Jun;18(6):1155-1163.

Attention-deficit/hyperactivity disorder and Alzheimer's disease and any dementia: A multi-generation cohort study in Sweden

Le Zhang, Ebba Du Rietz, Ralf Kuja-Halkola , Maja Dobrosavljevic , Kristina Johnell , Nancy L Pedersen , Henrik Larsson , Zheng Chang

HAGA CLICK AQUÍ
PARA DESCARGAR



Abstract Introduction: We examined the extent to which attention-deficit/hyperactivity disorder (ADHD), a neurodevelopmental disorder, is linked with Alzheimer's disease (AD) and any dementia, neurodegenerative diseases, across generations. **Methods:** A nationwide cohort born between 1980 and 2001 (index persons) were linked to their biological relatives (parents, grandparents, uncles/aunts) using Swedish national registers. We used Cox models to examine the cross-generation associations. **Results:** Among relatives of 2,132,929 index persons, 3042 parents, 171,732 grandparents, and 1369 uncles/aunts had a diagnosis of AD. Parents of individuals with ADHD had an increased risk of AD (hazard ratio 1.55, 95% confidence interval 1.26-1.89). The associations attenuated but remained elevated in grandparents and uncles/aunts. The association for early-onset AD was stronger than late-onset AD. Similar results were observed for any dementia. **Discussion:** ADHD is associated with AD and any dementia across generations. The associations attenuated with decreasing genetic relatedness, suggesting shared familial risk between ADHD and AD.

Trastorno por déficit de atención/hiperactividad y enfermedad de Alzheimer y cualquier demencia: un estudio de cohorte multigeneracional en Suecia

Resumen Introducción: Examinamos hasta qué punto el trastorno por déficit de atención/hiperactividad (TDAH), un trastorno del neurodesarrollo, está relacionado con la enfermedad de Alzheimer (EA) y cualquier demencia, enfermedades neurodegenerativas, a lo largo de generaciones. **Métodos:** Un cohorte nacional nacida entre 1980 y 2001 (personas índice) se vinculó con sus parientes biológicos (padres, abuelos, tíos/tías) utilizando registros nacionales suecos. Usamos modelos de Cox para examinar las asociaciones entre generaciones. **Resultados:** Entre los familiares de 2,132,929 personas índice, 3042 padres, 171,732 abuelos y 1369 tíos/tías tenían diagnóstico de EA. Los padres de personas con TDAH tenían un mayor riesgo de EA (cociente de riesgos instantáneos 1.55, intervalo de confianza del 95 % 1.26-1.89). Las asociaciones se atenuaron pero permanecieron elevadas en abuelos y tíos/tías. La asociación para la EA de inicio temprano fue más fuerte que la EA de inicio tardío. Se observaron resultados similares para cualquier demencia. **Discusión:** el TDAH se asocia con la EA y cualquier demencia a lo largo de generaciones. Las asociaciones se atenuaron con la disminución de la relación genética, lo que sugiere un riesgo familiar compartido entre el TDAH y la EA.



Int J Womens Health. 2022 Jul 15;14:913-929.

HAGA CLICK AQUÍ
PARA DESCARGAR



Contraception During Perimenopause: Practical Guidance

Giovanni Grandi , Pierluigi Di Vinci , Alice Sgandurra , Lia Feliciello , Francesca Monari , Fabio Facchinetti

Abstract Climacteric is by no means in itself a contraindication to safe contraception. On the contrary, there are several conditions related to the perimenopause that could benefit from the use of modern contraceptives, mainly hormonal, with the goals of avoiding unintended pregnancies and giving further possible benefits beyond contraception (menstrual cycle control, a reduction of vasomotor symptoms and menstrual migraines, a protection against bone loss, a positive oncological risk/benefit balance). This narrative review aims to provide practical guidance on their possible use in this particular life stage, both short- and long-acting reversible contraceptives, and to assist clinicians for women transitioning from contraception to their menopausal years, including the possible initiation of postmenopausal hormone therapy. Comprehensive contraceptive counselling is an essential aspect of the overall health and wellbeing of women and should be addressed with each such patient irrespective of age.

Anticoncepción durante la perimenopausia: orientación práctica

Resumen: Climaterio no es en sí mismo una contraindicación para la anticoncepción segura. Por el contrario, existen varias condiciones relacionadas con la perimenopausia que podrían beneficiarse del uso de anticonceptivos modernos, principalmente hormonales, con el fin de evitar embarazos no deseados y brindar posibles beneficios más allá de la anticoncepción (control del ciclo menstrual, reducción de los síntomas vasomotores y migrañas menstruales, una protección contra la pérdida ósea, un balance positivo de riesgo/beneficio oncológico). Esta revisión narrativa tiene como objetivo proporcionar una guía práctica sobre su posible uso en esta etapa particular de la vida, tanto los anticonceptivos reversibles de acción corta como prolongada, y ayudar a los médicos de las mujeres en la transición de la anticoncepción a los años de la menopausia, incluido el posible inicio de la terapia hormonal posmenopáusica. La consejería anticonceptiva integral es un aspecto esencial de la salud y el bienestar general de las mujeres y debe abordarse con cada paciente, independientemente de su edad.



Diabetes Obes Metab. 2021 Jul;23(7):1542-1551

Prescribing trends and clinical characteristics of patients starting antiobesity drugs in the United States

Karine Suissa , Sebastian Schneeweiss , Dong Wook Kim , Elisabetta Patorno

Abstract Aim: To assess the trends in the prescribing of antiobesity medications and the characteristics of patients recently initiating antiobesity drugs. Materials and methods: We conducted a population-based cohort study using claims data from commercial health insurances in the United States. Patients initiating an antiobesity drug between January 2004 and December 2018 were included. Trends in the utilization of antiobesity medications were plotted by year, as a proportion of any antiobesity treatment, and as initiation rates per 100 000. Descriptive statistics were used to summarize the characteristics of antiobesity initiators. Results: From 2004 to 2018, 626 216 patients started an antiobesity medication (two per 100 000). Phentermine was the most frequently prescribed (50% in 2018). In recent years (2015–2018), among 227 692 patients who initiated an antiobesity drug, 51% started phentermine, 19% naltrexone-bupropion, and 13% liraglutide 3.0 mg. Compared to other agents, the use of liraglutide 3.0 mg increased between 2015 and 2018. The average age of initiators was 45 years, 81% of initiators were female, 32% had hypertension, 25% had dyslipidaemia, and 6% had type 2 diabetes. Time on treatment was generally short (mean 81 days). Conclusion: The overall use of antiobesity medications remained low over the past 15 years and phentermine was the preferred antiobesity agent. Although the use of potentially safer antiobesity agents, for example, liraglutide 3.0 mg, has increased in recent years, phentermine remained the most frequently prescribed agent among middle-aged adults with a moderate burden of comorbidities

Tendencias de prescripción y características clínicas de pacientes que inician fármacos antiobesidad en Estados Unidos

Resumen Objetivo: Evaluar las tendencias en la prescripción de medicamentos antiobesidad y las características de los pacientes que inician recientemente medicamentos antiobesidad. **Materiales y métodos:** Realizamos un estudio de cohorte basado en la población utilizando datos de reclamos de seguros de salud comerciales en los Estados Unidos. Se incluyeron pacientes que iniciaron un fármaco antiobesidad entre enero de 2004 y diciembre de 2018. Las tendencias en la utilización de medicamentos contra la obesidad se trazaron por año, como una proporción de cualquier tratamiento contra la obesidad y como tasas de inicio por 100.000. Se utilizaron estadísticas descriptivas para resumir las características de los que iniciaron el tratamiento contra la obesidad. **Resultados:** de 2004 a 2018, 626.216 pacientes iniciaron tratamiento con un medicamento contra la obesidad (dos por 100.000). La fentermina fue la más prescrita (50% en 2018). En los últimos años (2015–2018), de 227.692 pacientes que iniciaron un medicamento contra la obesidad, el 51% comenzó con fentermina, el 19% con naltrexona-bupropión y el 13% con liraglutida 3.0 mg. En comparación con otros agentes, el uso de liraglutida 3.0 mg aumentó entre 2015 y 2018. La edad promedio de los iniciadores fue de 45 años, el 81 % de los iniciadores eran mujeres, el 32 % tenía hipertensión, el 25 % dislipidemia y el 6 % diabetes tipo 2. El tiempo de tratamiento fue generalmente corto (media de 81 días). **Conclusión:** el uso general de medicamentos contra la obesidad se mantuvo bajo durante los últimos 15 años y la fentermina fue el agente antiobesidad preferido. Aunque el uso de agentes contra la obesidad potencialmente más seguros, por ejemplo, liraglutida 3.0 mg, ha aumentado en los últimos años, la fentermina sigue siendo el agente prescrito con mayor frecuencia entre adultos de mediana edad con una carga moderada de comorbilidades

Para solicitar este artículo
en texto completo escribir a:
waleska.alemparte@abbott.com



Clin Microbiol Infect. 2021 Apr;27(4):636.e1-636.e4

Evaluation of a rapid antigen test (Panbio™ COVID-19 Ag rapid test device) for SARS-CoV-2 detection in asymptomatic close contacts of COVID-19 patients

Ignacio Torres, Sandrine Poujois , Eliseo Albert, Javier Colomina , David Navarro

HAGA CLICK AQUÍ
PARA DESCARGAR



Abstract Objectives: There is limited information on the performance of rapid antigen detection (RAD) tests to identify SARS-CoV-2-infected asymptomatic individuals. In this field study, we evaluated the Panbio™ COVID-19 Ag Rapid Test Device (Abbott Diagnostics, Jena, Germany) for this purpose. **Methods:** A total of 634 individuals (355 female; median age, 37 years; range, 9-87) were enrolled. Two nasopharyngeal swabs were collected from household ($n = 338$) and non-household contacts ($n = 296$) of COVID-19 cases. RAD testing was carried out at the point of care. The RT-PCR test used was the TaqPath COVID-19 Combo Kit (Thermo Fisher Scientific, MA, USA). **Results:** Household contacts were tested at a median of 2 days (range, 1-7) after diagnosis of the index case, whereas non-household contacts ($n = 296$) were tested at a median of 6 days (range, 1-7) after exposure. In total, 79 individuals (12.4%) tested positive by RT-PCR, of whom 38 (48.1%) yielded positive RAD results. The overall sensitivity and specificity of the RAD test was 48.1% (95% CI 37.4-58.9) and 100% (95% CI 99.3-100), respectively. Sensitivity was higher in household (50.8%; 95% CI 38.9-62.5) than in non-household (35.7%; 95% CI 16.3-61.2%) contacts. Individuals testing positive by RAD test were more likely ($p < 0.001$) to become symptomatic than their negative counterparts. **Discussion:** The Panbio test displays low sensitivity in asymptomatic close contacts of COVID-19 patients, particularly in non-household contacts. Nonetheless, establishing the optimal timing for upper respiratory tract collection in this group seems imperative to pinpoint test sensitivity.

Evaluación de una prueba rápida de antígeno (Panbio™ COVID-19 Ag dispositivo de prueba rápida) para la detección de SARS-CoV-2 en contactos cercanos asintomáticos de pacientes con COVID-19

Resumen Objetivos: Existe información limitada sobre el rendimiento de las pruebas de detección rápida de antígenos (RAD) para identificar individuos asintomáticos infectados con SARS-CoV-2. En este estudio de campo, evaluamos el dispositivo de prueba rápida Panbio™ COVID-19 Ag (Abbott Diagnostics, Jena, Alemania) para este propósito. **Métodos:** un total de 634 personas (355 mujeres; mediana de edad, 37 años; rango, 9- 87) fueron inscritos. Se recogieron dos hisopos nasofaríngeos de contactos domésticos ($n = 338$) y no domésticos ($n = 296$) de casos de COVID-19. Las pruebas de RAD se llevaron a cabo en el punto de atención. La prueba de RT-PCR utilizada fue el TaqPath COVID-19 Combo Kit (Thermo Fisher Scientific, MA, EE. UU.). **Resultados:** los contactos domésticos se analizaron en una mediana de 2 días (rango, 1-7) después del diagnóstico del caso índice, mientras que los contactos no domésticos ($n = 296$) se evaluaron en una mediana de 6 días (rango, 1-7) después de la exposición. En total, 79 individuos (12.4 %) dieron positivo por RT-PCR, de los cuales 38 (48.1 %) arrojaron resultados positivos de RAD. La sensibilidad y especificidad general de la prueba RAD fue del 48.1 % (95 % CI 37.4-58.9) y del 100 % (95 % CI 99.3-100), respectivamente. La sensibilidad fue mayor en los contactos domésticos (50.8%; 95% CI 38.9-62.5) que en los contactos no domésticos (35.7%; 95% CI 16.3-61.2%). Las personas que dieron positivo en la prueba RAD tenían más probabilidades ($p < 0.001$) de volverse sintomáticos que sus contrapartes negativas. **Discusión:** La prueba Panbio muestra baja sensibilidad en contactos cercanos asintomáticos de pacientes con COVID-19, particularmente en contactos fuera del hogar. No obstante, parece imperativo establecer el momento óptimo para la recolección del trácto respiratorio superior en este grupo para determinar la sensibilidad de la prueba.



Investig Clin Urol. 2019 Jul;60(4):244-250.

Effectiveness of three different luteinizing hormone-releasing hormone agonists in the chemical castration of patients with prostate cancer: Goserelin versus triptorelin versus leuprolide

HAGA CLICK AQUÍ
PARA DESCARGAR



Myungsun Shim , Woo Jin Bang , Cheol Young Oh , Yong Seong Lee , Jin Seon Cho

Abstract Purpose: To investigate the changes in testosterone levels and rates of chemical castration following androgen-deprivation therapy (ADT) with goserelin, triptorelin, and leuprolide. Materials and methods: We retrospectively reviewed the medical records of 125 patients with prostate cancer treated with luteinizing hormone-releasing hormone (LHRH) agonists between January 2009 and December 2015. Changes in testosterone concentration during 9 months of ADT with goserelin 11.34 mg, triptorelin 11.25 mg, and leuprolide 11.25 mg were analyzed using a mixed model. The number of patients with serum testosterone below castration levels defined as various values (<50 ng/dL, <20 ng/dL, or <10 ng/dL) at 3, 6, and 9 months were also evaluated. Results: Of the 125 patients, 59 received goserelin, 44 received triptorelin, and 22 received leuprolide, respectively. The lowest mean testosterone levels during 9 months of treatment were achieved in patients treated with triptorelin, followed by those treated with leuprolide, and then by those treated with goserelin ($p=0.001$). Significant differences in chemical castration levels were observed only at <10 ng/dL, with 54.2% of goserelin, 93.2% of triptorelin, and 86.4% of leuprolide treated patients ($p<0.001$). Conclusions: Three LHRH agonists showed comparable efficacy for achieving castration when the castration threshold was 50 or 20 ng/dL. However, triptorelin was the most potent LHRH agonist, achieving the lowest mean testosterone levels and the highest rate of chemical castration at <10 ng/dL testosterone.

Eficacia de tres agonistas diferentes de la hormona liberadora de hormona luteinizante en la castración química de pacientes con cáncer de próstata: goserelina versus triptorelina versus leuprolida

Resumen Propósito: Investigar los cambios en los niveles de testosterona y las tasas de castración química después de la terapia de privación de andrógenos (ADT) con goserelina, triptorelina y leuprolida. Materiales y métodos: Revisamos retrospectivamente las historias clínicas de 125 pacientes con cáncer de próstata tratados con agonistas de la hormona liberadora de hormona luteinizante (LHRH) entre enero de 2009 y diciembre de 2015. Cambios en la concentración de testosterona durante 9 meses de ADT con goserelina 11.34 mg, triptorelina 11.25 mg y leuprolide 11.25 mg se analizaron mediante un modelo mixto. También se evaluó el número de pacientes con testosterona sérica por debajo de los niveles de castración definidos como varios valores (<50 ng/dL, <20 ng/dL o <10 ng/dL) a los 3, 6 y 9 meses. Resultados: De los 125 pacientes, 59 recibieron goserelina, 44 recibieron triptorelina y 22 recibieron leuprolida, respectivamente. Los niveles medios de testosterona más bajos durante los 9 meses de tratamiento se alcanzaron en los pacientes tratados con triptorelina, seguidos por los tratados con leuprolida y luego por los tratados con goserelina ($p=0.001$). Se observaron diferencias significativas en los niveles de castración química solo a <10 ng/dL, con 54.2 % de goserelina, 93.2 % de triptorelina y 86.4 % de los pacientes tratados con leuprolide ($p<0.001$). Conclusiones: tres agonistas de la LHRH mostraron una eficacia comparable para lograr castración cuando el umbral de castración era de 50 o 20 ng/dL. Sin embargo, la triptorelina fue el agonista LHRH más potente, alcanzando los niveles medios de testosterona más bajos y la tasa más alta de castración química con <10 ng/dL de testosterona.



Abbott

ME-RED
MEDICAL EDUCATION RED

SERVICIO DE INFORMACIÓN BIBLIOGRÁFICA

Este servicio busca brindar acceso a los Profesionales de la Salud a Información Científica, necesaria para la constante actualización en cada uno de sus respectivos campos.

**CONTAMOS CON BASES DE DATOS
Y REVISTAS DE TODAS LAS ESPECIALIDADES**

PRINCIPALES SERVICIOS OFRECIDOS

- Búsquedas Bibliográficas.
- Textos completos de Publicaciones Periódicas de las más prestigiosas editoriales en el ámbito de las Ciencias Biomédicas.
- Monografías de Productos.
- Alertas Bibliográficas.

CÓMO SOLICITAR INFORMACIÓN:

- Para búsquedas bibliográficas indicar:
Tema de interés
- Para búsquedas de artículos indicar:
Referencia bibliográfica (título del artículo, Revista, volumen, página)

CÓMO ENVIAR SU SOLICITUD:



- A través del correo electrónico:
waleska.alemparte@abbott.com

- A través del consultor



Abbott

ME-RED

MEDICAL EDUCATION RED



Uno de nuestros principales objetivos en **Abbott** es promover y apoyar la **Educación Médica a Profesionales de Salud**, para lograr los mejores estándares de atención y cuidado de la salud de las personas para que éstos vivan una vida plena y al máximo

SERVICIO DE INFORMACIÓN BIBLIOGRÁFICA

- Servicio de información liderado por bibliotecóloga especialista en ciencias biomédicas.



- Contamos con una gran base de datos médico-científica con acceso a más de **2500 títulos** de revistas en más de **15 especialidades médicas**



DISCUSIÓN DE CASOS CLÍNICOS

- Iniciativa de educación médica continua que promueve un espacio neutro para compartir, desarrollar y discutir casos clínicos de difícil resolución.



MED-LIBRARY

- Compilado con resúmenes de publicaciones actuales y de interés en diversas especialidades médicas al que usted podrá acceder a través de un botón digital.



OTROS SERVICIOS:

- Apoyo en estudios clínicos y/o publicaciones científicas



- Actualización información científica en temas de Bioequivalencia y Farmacovigilancia



Contacto: beatriz.bunster@abbott.com

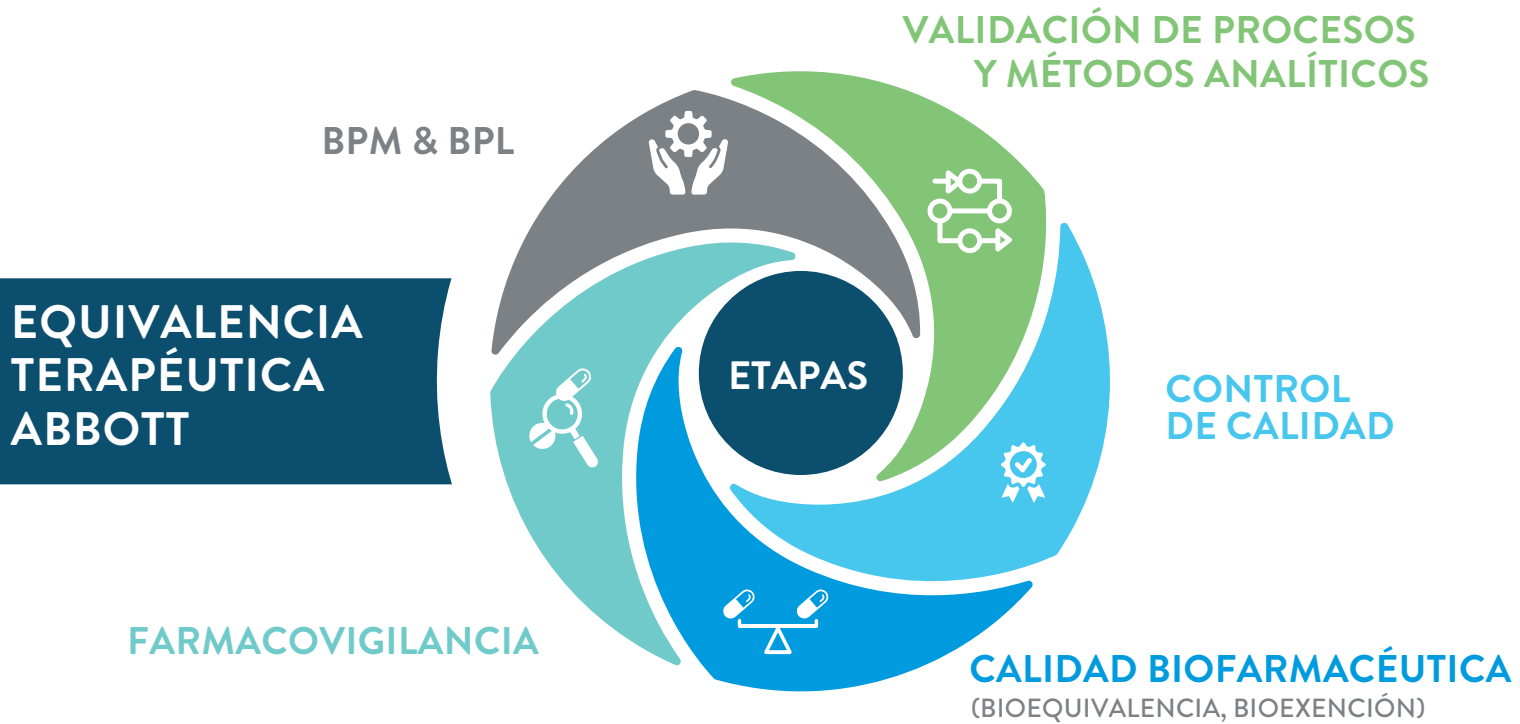


EQUIVALENCIA TERAPÉUTICA ABBOTT



CHL1235328

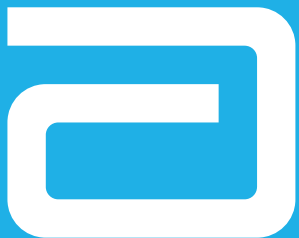
MAS ALLÁ DE UNA FRANJA AMARILLA



CHL1235328

LE INVITAMOS A REVISAR MÁS INFORMACIÓN ESCANEANDO ESTE QR





Abbott



Contacto bibliotecóloga: **Waleska.alemparte@abbott.com**